

V-325 地中連続壁基礎における剛結継手に関する実験的研究—その1
実験概要および継手の単純引張実験

大成建設㈱ 技術開発部 ○正会員 内藤 穎二
大成建設㈱ 土木設計部 正会員 田中 幸一
大成建設㈱ 技術開発部 正会員 坂手 正明

1. まえがき

地中連続壁基礎における剛結継手には、従来鉄筋の重ね継手が一般に用いられている。本報告書は、この重ね継手にかえてメスパイプ内にオスパイプを挿入し継手内部にグラウトを注入することにより、連壁エレメントを剛結するジャンクション継手（図-1）に関する一連の実験結果の概要と気中での単純引張実験に関する結果をまとめたものである。

2. 実験概要

今回の一連の実験フローを図-2に示す。予備実験として表-1に示すようにオス、メスパイプの形状をかえて単純引張実験を行い、引張強度が大きく伸び量の少ないAタイプの組合せを基本形状に決定した。引続き、メスパイプの外径、肉厚をかえて3ケース4体ずつ計12本の供試体を製作し、単純引張実験を行った。同時に予備実験のデータをもとにFEMでシミュレーション解析（解析No.1）を行ない、得られた物性値から肉厚、スリット巾、オスパイプ外径を変えてパラメータスタディを行った（解析No.2）。さらに、継手がコンクリート中に埋込まれた状態をモデル化した弹性解析からクラック発生位置を予測した（解析No.3）。以上をもとに水平主鉄筋量を定め、継手部の補強を行った梁部材を作成し、表-2に示す梁実験を行った。

3. 単純引張実験

3-1. 実験方法

供試体は写真-1、表-3に示す形状とし、オスパイプは原則としてメスパイプの中央に配置した。但し、No.1, 5, 9についてはメスパイプのスリットに近接して配置している。供試体は高さ30cmでオス、メスパイプには9mmの鋼板を溶接し、試験機のチャック部分は高さを10cmに絞り込んでいる。メスパイプの材質は、STKM-13A（規格降伏点22kgf/mm²、規格引張強度38kgf/mm²）を、内部グラウトにはプレミックス無收縮グラウト材を使用した。

載荷は1本目を単調載荷し、得られた引張強度の70%を降伏点と仮定し（母材鉄筋をSD-35と想定し、規格引張強度50kgf/mm²、規格降伏点35kgf/mm²を参考にした。）以降の載荷荷重を定めた。また、No.4, 8, 12については高応力繰返し載荷実験とした。

一連の実験方法及び評価方法は、土木学会「鉄筋継手

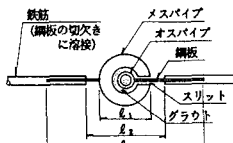


図-1 ジャンクション継手

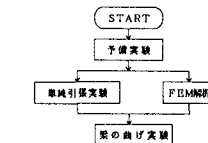


図-2 ジャンクション継手に関する実験フロー図

表-1 予備実験供試体形状	表-1 予備実験供試体形状			
	A	B	C	D
形 状				
メスパイプ	Φ101.6 × 18t	100° × 18t	100° × 18t	140 × 100 × 18t
オスパイプ	Φ42.7 × 3.2t	Φ42.7 × 3.2t	40° × 2t	Φ42.7 × 3.2t

表-2 素の曲げ実験ケース一覧表

ケース No.	外径 D (mm)	水 頭 H (mm)	幅 幅 B (mm)	強 度 荷 重 W (kgf)	表-2 素の曲げ実験ケース一覧表																			
					1-1	1-2	1-3	2-1	2-2	2-3	3-1	3-2	3-3	4-1	4-2	4-3	5-1	5-2	5-3	6-1	6-2	6-3	7-1	7-2
1	-	D 25	有	-	-	-	-	-	-	-	-	-	-	-	-	-	-	-	-	-	-	-	-	-
2	-	-	-	-	-	-	-	-	-	-	-	-	-	-	-	-	-	-	-	-	-	-	-	-
3	-	-	-	-	-	-	-	-	-	-	-	-	-	-	-	-	-	-	-	-	-	-	-	-
4	-	D 25	有	-	-	-	-	-	-	-	-	-	-	-	-	-	-	-	-	-	-	-	-	-
5	-	D 25	無	-	-	-	-	-	-	-	-	-	-	-	-	-	-	-	-	-	-	-	-	-
6	-	-	-	-	-	-	-	-	-	-	-	-	-	-	-	-	-	-	-	-	-	-	-	-
7	-	D 25	-	-	-	-	-	-	-	-	-	-	-	-	-	-	-	-	-	-	-	-	-	-
8	-	-	-	-	-	-	-	-	-	-	-	-	-	-	-	-	-	-	-	-	-	-	-	-

写真-1 単純引張実験

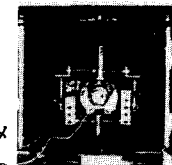


表-3 単純引張実験結果一覧表

供試体 No.	オス パイ プ 外 径 (mm)	メスパイ プ 外 径 (mm)	メスパイ プ 内 厚 (mm)	オス パイ プ 材 質	実験結果		A級を満足す る引張強度 P _u (kgf/mm ²)	95%信 頼引張強度 P _u (kgf/mm ²)
					実 験 強 度 P (kgf/mm ²)	引 張 強 度 P (kgf/mm ²)		
1	42.7	120	30	スチール	100.4	334.7	183.0	154
2	“	“	“	“	101.9	339.7	184.9	153.4
3	“	“	“	“	94.1	313.7	192.3	149.1
4*	“	“	“	“	102.9	343.0	147.6	125
5	“	1143	25	スチール	63.1	210.3	158.9	125.6
6	“	“	“	“	58.3	194.3	149.1	125.6
7	“	“	“	“	57.2	190.7	147.6	125.0
8*	“	“	“	“	57.0	190.0	147.6	125.0
9	34	101.6	“	スチール	51.8	172.7	129.1	116.4
10	“	“	“	“	61.8	205.0	161.4	135.4
11	“	“	“	“	54.6	182.0	149.1	125.4
12*	“	“	“	“	61.2	204.0	153.0	135.0

(注) * : 高応力繰返し耐力実験
** : $P_u = 5000 \times 3500 / P_y$
ここで y は次式で示す Δz_{c} と Δz_{m} に相当する荷重を $P = P - \Delta z$ 曲線（図-3）より読み取り、小さい方の値を単位長さ当たりの荷重に換算したものである。

$$\Delta z_{\text{c}} = -0.7z_{\text{c}} / E_{\text{c}}, \Delta z_{\text{m}} = -0.9z_{\text{m}} / E_{\text{m}}$$

ただし $z_{\text{c}} = \text{鉄筋の平均半径} = 3500 \text{kgf/cm}^2 / 250 \text{kgf/cm}^2 = 14 \text{cm}$

$E_{\text{c}} = \text{鉄筋の弾性係数} = 2.1 \times 10^5 \text{kgf/cm}^2$

* * * : A級継手として 95%信頼できる（下限の強度が 5%以下となる）引張強度

指針」に従い、静的耐力性能についてはA級の規定を満足する引張耐力を求めた。継手部の定義として図-1の ℓ_1 , ℓ_2 , ℓ_3 の考え方があるが、ここでは安全側に ℓ_1 部分を継手と考え、検長距離の基準とした。規定項目は、継手部の伸び($\triangle\ell$), スリットの開き($\triangle w$), 一部のメスパイプの応力である。

3-2. 実験結果

図-3,4にP- $\triangle\ell$ 曲線, P- $\triangle w$ 曲線を示す。両図における初期勾配は小さい順に、 $\phi 120$, $\phi 101.6$, $\phi 114.3$ であり、同肉厚の場合、外径の大きさ、すなわちアームの長い方が変形量が大きくなっている。また、スリットに接近してオスパイプを配置した供試体のうちNo.9だけが耐力が小さくなっている。これはオスパイプ径が小さいため鋼材との溶接ビードの厚が相対的に大きくなり、クサビと同等の効果をもたらしたためと思われる。実験結果より、実測引張強度 P_u , A級継手を満足する引張強度 $P_{u'}$, A級継手が95%信頼で保証できる引張強度 P_{ug} を算定し表-3に示す。次報に述べる梁実験では、この P_{ug} をベースにした。なお、仮定した降伏荷重を載荷後、除荷した時の残留変形量は各径とも0.2mm以下であった。

次に、高応力繰返し耐力性能実験結果を表-4に示す。繰返し荷重の上限値は表-3に示した P_u の70%に多少の余裕を見込んで決定したが、 $P_{u'}$ より算定した上限値はかなり小さく、特にその比が1.77倍となった $\phi 120$ の供試体では規定値を満足していない。しかし、その比が1.2程度の他の2本は満足しており、地震時における耐力が十分あることを示している。

5. FEM解析

ジャンクションのFEMモデル図を図-5に示す。解析の結果次のことが判明した。

①オス金物とメス金物との間の応力伝達は、中詰グラウトを介して行われるが、メス金物先端(スリット部)付近に応力が集中している。この傾向は引張荷重が大きくなり、構造状態が終局状態に近づくにつれ著しくなる。(前述解析No.1より)

②ジャンクションの形状寸法のうち、静的耐力性能に最も関与するのはメス金物肉厚であり、メス金物肉厚とA級継手を満足する引張強度の関係を図-6に示す。(前述解析No.2より)これは同時に実験を行ったジャンクション継手の単純引張実験結果とほぼ一致した。

③図-7に示すように、オスプレートと周辺コンクリート間のせん断力はメス金物開口部付近に集中しており、この付近から両者の付着切れが懸念される。従ってこの付近に付着補強鉄筋を配置すれば効果的と考えられる。(前述解析No.3より)

④鋼材とコンクリートの付着切れ、はくりが発生した後は、メス金物外側コンクリートに引張応力が集中している。従って、この付近に周辺コンクリートに発生する引張応力を分担する補強鉄筋を配置すれば効果的であると考えられる。(前述解析No.3より)

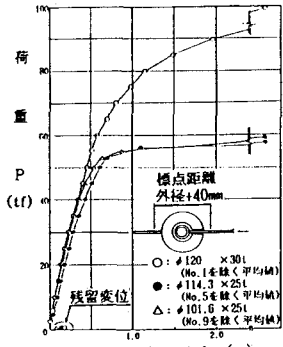
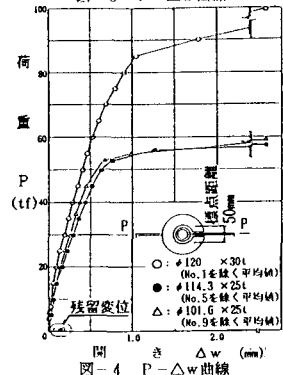
図-3 伸び $\triangle\ell$ (mm) P- $\triangle\ell$ 曲線図-4 開き $\triangle w$ (mm) P- $\triangle w$ 曲線

表-4 高応力繰返し耐力実験結果

供試体 No.	メスパイプ 外径 (mm)	実験荷重で使用した降伏点 (tf/a) P_y	E_{sa}/E_s	P_u' の算定時に使用した降伏点 P_y' (tf/a)	$P_{y'}/P_y$
4	120	221	0.79 < 0.85	125	1.77
8	114.3	128	0.90 > 0.85	102	1.25
12	101.6	128	0.88 > 0.85	101	1.21

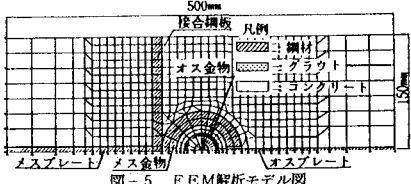
(注) * : 表-3の P_u' の平均値 0.7 500mm

図-5 FEM 解析モデル図

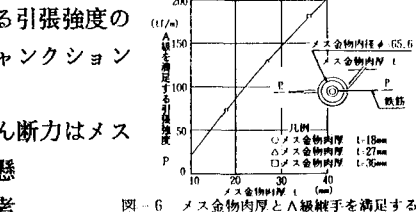


図-6 メス金物内厚と引張強度の関係推定図

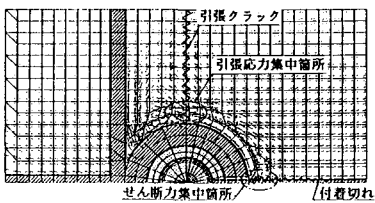


図-7 ジャンクション継手周辺コンクリートの主応力分布図